

# I - B 468 超高層ビルの揺れ振動に同調する付加 TLD の制振効果

大分工業高等専門学校 正会員 園田 敏矢  
 正会員 高西 照彦  
 九州工業大学工学部 正会員 多田 浩

## 1. まえがき

近年、超高層ビルやタワー等が数多く建設されているが、それらが強い地震や風を受けると大きな揺れを生じる。この揺れを軽減する目的で当該構造物に液体の動搖振動を利用した同調液体ダンパー（TLD）が設置されることがある。一般に、構造物の重心と剛心が一致する場合は、水平方向に同調したTLDを設置すれば制振効果を期待できるが、構造物の重心と剛心が一致しない場合は、揺れ振動の影響が無視できなくなり、水平方向に同調したTLDだけでは揺れを軽減できない場合も考えられる。著者らは、前論<sup>1)</sup>でx及びy方向に偏心した構造物が斜め方向から入力加速度を受けた場合の揺れ（θ方向）振動を抑制することを目的として、マルティブルTLD（以降MTLDという）を利用してすることを提案してその制振効果について述べた。制振効果に影響を及ぼすパラメーターとしては、構造物系の1次と2次の固有振動数に対するMTLDの振動数比、構造物系及びMTLDの減衰定数、構造物の質量に対するMTLDの質量比、MTLD相互の質量比、構造物系の偏心率、構造物系の1次と2次の固有振動数比、MTLDの設置位置等が考えられる。本論は、構造物系の揺れ振動を制振するために新たにTLDを設置する必要があるかどうかについての判断をする基準となる条件を、上記の各パラメーターの値を用いて明らかにすることをその目的としている。本論では、まず、偏心距離及び構造物の揺れ振動の減衰定数  $h_\theta$  がMTLDの制振効果に与える影響について検討を行った。

## 2. 数値計算結果及び考察

構造物を図-1(a)に示すように水平方向yと回転θの1質点2自由度を有する振動系にモデル化した場合について考える。同図中Oは重心、Sは剛心の位置を表す。この構造物系にそれぞれ図-1(b)及び(c)に示すようにTLDを設置した場合について、構造物系に対するTLDの制振性について検討する。CASE-1は構造物系のスエイ振動に同調するTLD-Aを設置した場合、CASE-2は揺れ振動に同調するTLD-Bを同時に設置した場合である。

TLD-A,Bの設置位置の座標はそれぞれ  $(x_1, 0), (x_2, 0)$  とするが、今回、TLD-Aは原点に設置しているので  $x_1=0$  となる。図-1の構造物-TLD系がy方向に  $\ddot{\phi}(t)$  の地震加速度を受けたときの振動方程式は次式のように表される。

$$m\ddot{y} + c_y\dot{y} + c_y\epsilon_x\dot{\theta} - c_{\eta 1}\dot{\eta}_1 - c_{\eta 2}\dot{\eta}_2 = -m\ddot{\phi} \quad (1)$$

$$+k_yy + k_y\epsilon_x\theta - k_{\eta 1}\eta_1 - k_{\eta 2}\eta_2 = -m\ddot{\phi}$$

$$J\ddot{\theta} + c_y\epsilon_x\dot{y} + (c_\theta + c_y\epsilon_x^2)\dot{\theta} - c_{\eta 1}x_1\dot{\eta}_1 - c_{\eta 2}x_2\dot{\eta}_2 = 0 \quad (2)$$

$$+k_ye_xy + (k_\theta + k_y\epsilon_x^2)\theta - k_{\eta 1}x_1\eta_1 - k_{\eta 2}x_2\eta_2 = 0$$

$$m_{\eta 1}\ddot{y} + m_{\eta 1}x_1\ddot{\theta} + m_{\eta 1}\dot{\eta}_1 + c_{\eta 1}\dot{\eta}_1 + k_{\eta 1}\eta_1 = -m_{\eta 1}\ddot{\phi} \quad (3)$$

$$m_{\eta 2}\ddot{y} + m_{\eta 2}x_2\ddot{\theta} + m_{\eta 2}\dot{\eta}_2 + c_{\eta 2}\dot{\eta}_2 + k_{\eta 2}\eta_2 = -m_{\eta 2}\ddot{\phi} \quad (4)$$

上式で式(1),(2)は構造物の、式(3),(4)はそれぞれTLD-A及びBの振動方程式である。計算対象としては36階の超高層ビルを選び、これを図-1(a)に示すように2自由度系にモデル化した。ビルの高さは147m、

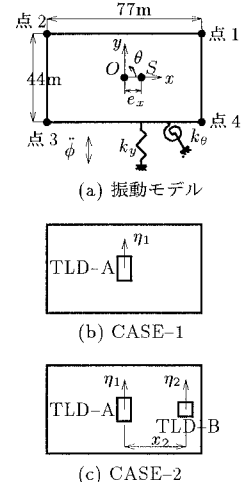
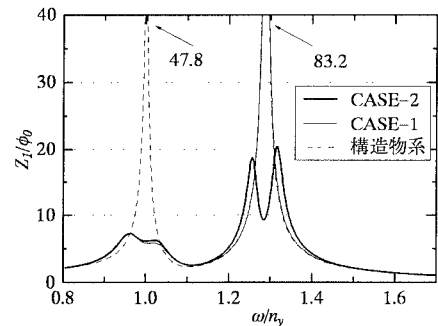


図 1: 超高層ビル(36階)

図 2: 点1の共振曲線  
 $(\epsilon_x=5.0 \text{ m}, h_\theta=0.003)$

床面積は $44m \times 77m$ 、総質量は $59598t$ である。また、構造物の有効質量 $m=2.0276 \times 10^4t$ 、有効慣性モーメント $J=1.3142 \times 10^7t \cdot m^2$ 、構造物の $y$ 方向の減衰係数 $h_y=0.006$ 、構造物の $y$ 方向のバネ定数 $k_y=8.6376 \times 10^4kN/m$ 、構造物の $\theta$ 方向のバネ定数 $k_\theta=7.9870 \times 10^7kN \cdot m/rad$ である。 $m_{\eta_1}, m_{\eta_2}, c_{\eta_1}, c_{\eta_2}, k_{\eta_1}, k_{\eta_2}$ はそれぞれTLDを等価振動系で表したときの $\eta_1, \eta_2$ 方向の等価質量、等価減衰係数、等価バネ定数である。TLDの等価質量と等価バネ定数は著者らの示した式<sup>2)</sup>を用いて算出した。また、全TLDの等価質量と構造物の質量の比 $\mu$ は0.01とした。TLD-Aの減衰定数 $h_A$ はTLD-Aと構造物の質量比 $\mu_A$ を次式に代入して与えられる値を用いた。TLD-Bの減衰定数 $h_B$ も同様にして求めた値を用いた。

$$h_A = \sqrt{3\mu_A/8(1+\mu_A/2)} \quad (5)$$

数値計算は構造物系の場合及びCASE-1とCASE-2の3種類について行った。構造物の $\theta$ 方向の減衰定数 $h_\theta$ は0.003, 0.006, 0.009, 0.012, 0.015の5種類、 $x$ 方向の偏心距離 $e_x$ は1.67, 3.33, 5.0mの3種類とした。このとき、偏心率 $e'_x$ はそれぞれ0.055, 0.110, 0.164となる。なお、偏心率 $e'_x$ は建築基準法施行令より次式で与えられる。

$$e'_x = e_x/r_x, \quad r_x(\text{回転半径}) = \sqrt{k_\theta/k_y} \quad (6)$$

構造物系の1次と2次の固有振動数比は $e_x$ の値に応じて1.206~1.287となる。TLD-Aの固有振動数は、重心位置における構造物系の1次の共振振動数付近に存在する構造物-TLD系の共振曲線の2つのピーク値が等しくなるように定めた。また、TLD-Bの固有振動数は構造物系の2次の共振振動数付近に存在する構造物-TLD系の共振曲線の2つのピーク値が等しくなるように定めた。CASE-2におけるTLD-AとTLD-Bの質量比は上記の4つのピーク値が等しくなるように定めた。図-2に $h_\theta=0.003, e_x=5.0m$ の場合の図-1(a)の点1の共振曲線を示す。太い実線はCASE-2、細実線はCASE-1の場合、細破線は構造物系の場合である。図の横軸は、構造物系の1次の固有円振動数に対する加振円振動数の比、縦軸は入力変位振幅に対する点1の $y$ 方向絶対変位振幅である。同図の $\omega/n_y=1.3$ 付近における細実線と太実線との比較から、TLD-Bの設置が有効なことが判る。図-3は $e_x$ をパラメータとして、 $h_\theta$ の値によってTLD-Bの有効性がどのように変わるかを示した図であり、図-4, 5は $h_\theta$ をパラメータとして、 $e_x$ の値によってTLD-Bの有効性がどのように変わるかを示した図である。上図の縦軸にはいずれも構造物系の1次の共振点付近に存在する構造物-TLD系の共振曲線の大きい方のピーク値に対する構造物系の2次のそれとの比を探っている。同図において、同じ $h_\theta$ 或いは $e_x$ の値における黒塗り印(CASE-1)と白抜き印(CASE-2)の値の大きさが、TLD-Bの有効性の大きさを示しているといえよう。白抜き印(CASE-2)の値が1に等しいときはTLD-AとTLD-Bとが共に理想的に働いていることを示しており、その値が1より大きいときにはTLD-Bの利きを、1より小さいときはTLD-Aの利きを新に増大させるように配慮すべきことを示唆していることになる。

【参考文献】1) 園田敏矢他：超高層ビルの揺れ振動に対するMTLDの制振性、土木学会西部支部研究発表会、1998.3.

2) 高西照彦他：2方向入力を受けるTLD付き3層ラーメン模型の応答特性、構造工学論文集 Vol.42A, 1996.3.

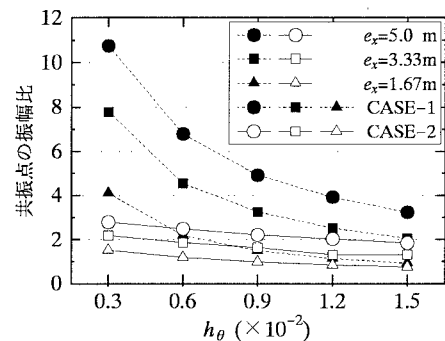


図3: 点1における共振点の振幅比( $h_y=0.006$ )

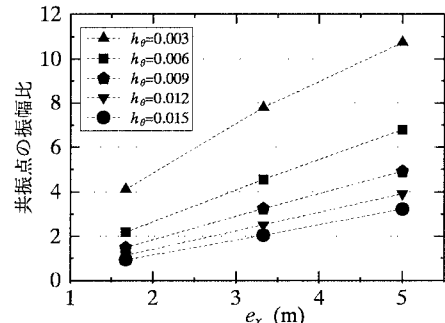


図4: 点1における共振点の振幅比(CASE-1)

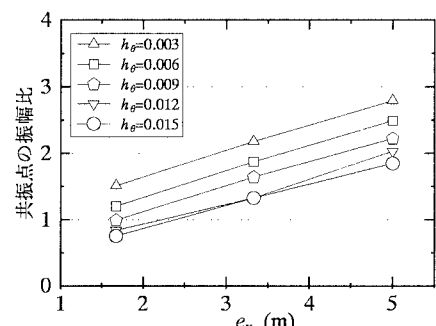


図5: 点1における共振点の振幅比(CASE-2)